

Algoritmos de Busca no Pac-Man

Introdução à Inteligência Artificial

Vinicius Julião Ramos - 2018054630

¹Departamento de Ciência da Computação
Universidade Federal de Minas Gerais (UFMG)

`viniciusjuliao@dcc.ufmg.br`

1. Introdução

O presente trabalho constituído pelo desenvolvimento e análise da aplicação de algoritmos de busca sobre o jogo Pac-Man. Essa atividade tem como fim a introdução de algoritmos utilizados por inteligências artificiais em problemas reais, como um *video game*. Além disso, tal aplicação só é possível graças à modelagem do problema, em que o estado do jogo se dá pelas posições disponíveis no tabuleiro (mapa), sendo que os estados considerados como estados objetivos, são aqueles que contêm a "comida" do personagem.

No jogo, o personagem pode mudar de posição apenas para aquelas posições adjacentes à posição atual. Tal adjacência se dá pelas posições acima, abaixo, à esquerda e à direita. Logo, cada estado tem no máximo quatro outros estados descendentes. É importante destacar que o mapa não é infinito, ou seja, há barreiras que impedem o personagem de realizar um movimento, logo é possível que determinados estados tenham menos de quatro estados descendentes. Dessa forma, é possível caminhar de forma sistêmica em todo este grafo a fim de alcançar os estados objetivos, e vencer o jogo.

Apesar da simplicidade do solucionador de um jogo 2D, a busca em grafos é utilizada em diversas aplicações muito complexas, mas, em linhas gerais, tem implementação relativamente simples. Outro fator de importância dos algoritmos de busca, é à adaptabilidade para diferentes tipos de problemas, enquanto há aqueles que são aplicáveis a qualquer problema, há outros que demandam maior conversão de especificidade. Um bom exemplo são os algoritmos **BFS** e **A***, no qual o primeiro pode ser aplicado de maneira genérica em muitos tipos de busca em grafos. Já o segundo algoritmo, demanda a criação de uma função heurística, o que desperta a necessidade de entender do comportamento das instancias que o algoritmo resolve, a fim de que essa função heurística seja capaz de otimizar a busca.

2. Soluções

De maneira geral, como trata-se de buscas em grafos, este trabalho desenvolveu três estruturas diferentes de solucionadores que serão apresentadas em ordem a seguir. As duas primeiras, são buscas que não desconsideram custos na troca de estados, entretanto, cada uma delas tem a própria maneira de expansão de nós. Já a última estrutura, que foi utilizada para três algoritmos diferentes, atribui pesos às mudanças de estado de maneira a otimizar – minimizar – a quantidade de nós expandidos.

2.1. Busca em Profundidade

Este é um algoritmo recursivo, que não considera custos de transições de estado, assim como mostram [Russell and Norvig 2000] e [Cormen et al. 2001]. A composição

algorítmica desta solução, faz com que a partir de um determinado nó, de maneira recursiva, visite-se imediatamente os nós vizinhos (que ainda não foram visitados). Ao imaginar uma árvore de decisão, em que os nós da árvore são os estados do problema e as arestas são as decisões de transições tomadas pelo algoritmo, a busca em profundidade parte da raiz (estado inicial) visitando primeiramente todo um ramo da árvore, antes de visitar quaisquer outros nós. Ao se deparar com um nó folha, atinge-se a condição de parada da recursão, e então, parte-se para a visitação do *sub-ramo* que descende do pai daquele nó folha. Contanto, a condição de parada que o algoritmo busca é o nó que identifica o estado objetivo do problema. Ao alcançar este ponto, o algoritmo é finalizado.

Apesar da característica recursiva do problema, o código desta solução não foi desenvolvido com chamadas recursivas. É possível utilizar uma estrutura de **pilha** para a visitação em profundidade, então optou-se por esta solução, uma vez que o empilhamento de chamadas recursivas adiciona uma sobrecarga muito grande na solução. Em instancias muito grandes, a árvore de decisões pode conter diversos níveis e para cada nível, adicionaria-se uma chamada de função, sobrecarregando a solução com a criação de novas variáveis. A solução chamada iterativa, necessita apenas de armazenar os dados de cada nó (estado) que será visitado a posteriori.

Por fim, utilizou-se também uma segunda pilha para armazenar a sequencia de tomadas de decisão realizadas pela busca em profundidade. Cada vez que a solução se aprofunda um nível da árvore de decisões, armazena-se aquele aprofundamento. Da mesma maneira, ao voltar um nível (emergir), a ultima decisão armazenada na pilha é removida. Enfim, ao encontrar o nó objetivo e parar a busca em profundidade, a pilha de decisões armazenou o passo a passo de como sair do nó raiz e chegar até o objetivo.

2.2. Busca em Largura

Em contraste com a busca em profundidade, nesta solução, a visitação da árvore de decisão é realizada de maneira "ramo a ramo". Na verdade, deseja-se visitar a árvore de decisões nível a nível. Ou seja, para que um nível $i + 1$ seja visitado, é necessário que todos os nós do nível i já tenham sido visitados anteriormente. A implementação dessa característica de visitação, requer o uso de uma estrutura de **fila**, em que, ao visitar um nó n , adiciona-se ao final da fila todos os nós filhos de n . Em questões práticas, ao expandir o estado s , todos os estados vizinhos de s são adicionados ao fim da fila.

Através dessa expansão em largura, pode-se chegar até o nó objetivo. Contudo, é preciso lembrar de uma restrição que fora adicionada a todas as soluções: Um estado não deve se expandido mais de uma vez, ou seja, na árvore de decisões não visitamos o mesmo nó mais de uma vez. Diferentemente da visitação em profundidade, a qual a própria pilha de visitação armazena as transições que a solução deve apresentar, na busca em largura é necessário utilizar uma estrutura mais complexa. Optou-se pela implementação de um dicionário, no qual, após expandir determinado nó, armazenamos aquele nó no dicionário, mapeando o nó pai. Dessa maneira, para obter a sequencia de decisões (a solução), desde que o nó objetivo fosse encontrado, bastou caminhar no dicionário em direção ao nó raiz da árvore de decisões.

2.3. Busca em Transições Ponderadas

As outras três soluções apresentadas por este trabalho consideram o peso da transições ou pesos dos estados ao realizar a visitação dos nós da árvore de decisão. Estes algoritmos

são **A***, **Greedy**, e **Uniform Cost Search**, os quais possuem a mesma estrutura básica, sendo que a única mudança é a função que avalia a qualidade da transição, assim como mostrado em [?].

Neste ponto, houve a necessidade de utilizar a estrutura **fila de prioridades**, na qual a função *custo de transição* define a ordem de expansão dos estados. Ou seja, cada vez que um estado é expandido, os estados vizinhos são adicionados à fila de prioridades, sendo que o *custo de transição* é definido pelo respectivo algoritmo, dentre aqueles três que realizam tal ponderação. Exatamente como na busca em largura, a estrutura de dicionário também foi utilizada para armazenar a sequência de visitação. Assim que um nó é visitado, ele é adicionado ao dicionário mapeando o nó predecessor. Ao encontrar o nó objetivo, basta caminhar no dicionário em direção ao nó raiz (estado inicial).

3. Metodologia e Análise Experimental

Para a análise experimental, optou-se pela utilização das métricas retornadas pelos códigos previamente escritos em que temos o tempo de execução, a quantidade de nós expandidos e o custo da solução. A obtenção dessas métricas se deu por meio do seguinte comando:

```
python3 pacman.py -layout $scenario -pacman SearchAgent -agentArgs  
fn=$alg,prob=FoodSearchProblem,heuristic=foodHeuristic
```

Observe, que o comando utiliza a heurística desenvolvida por este trabalho. Além disso, dadas as duas variáveis contidas no comando, executou-se todas as combinações possíveis de *\$scenario*, *\$alg*. As quais contiveram os seguintes valores:

- **\$alg**: *dfs* | *bfs* | *ucs* | *gs* | *astar*
- **\$scenario**: *contoursMaze* | *greedySearch* | *mediumCorners* | *mediumSafeSearch* | *openMaze* | *smallMaze* | *smallSafeSearch* | *smallSearch* | *tinyCorners* | *trickySearch*

3.1. Desempenho de cada algoritmo

Os resultados obtidos nesta fase da análise foram realizados de forma que para cada *\$alg* computou-se a média de execução das métricas em cada *\$scenario*. Além disso, os dados foram normalizados e dessa forma, encontram-se numa escala entre 0 e 1.

O alto custo do algoritmo *dfs*, destacado na Figura 1 é causado pela forma como a busca é realizada. Nesta solução, o que ocorre é uma busca cega através do mapa do jogo, o que pode levar a movimentos desnecessários, elevando o custo da solução. Entretanto, este algoritmo possui uma grande vantagem observada nas Figuras 2 e 3. O tempo e a quantidade de nós expandidos estão entre os menores valores dentre os cinco algoritmos analisados. Sendo que há uma relação entre tais fatores, uma vez que pode-se atribuir ir o baixo tempo à baixa quantidade de nós expandidos. Tal relação também é rechaçada pelos algoritmos *ucs* e *astar*.

Entretanto, ao analisar o desempenho de todos os algoritmos, é possível confirmar o bom desempenho daqueles que utilizam heurísticas para ponderar as transições. Tanto *gs* quanto *astar* expandiram poucos nós e tiveram um baixo tempo de execução. Entretanto, enquanto *astar* é melhor na custo médio das soluções, ele também se saiu pior do que *gs* nos fatores Tempo e Número de nós Expandidos. Então, por vias práticas, é necessário realizar um *trade-off* entre melhor custo e melhor desempenho ao selecionar

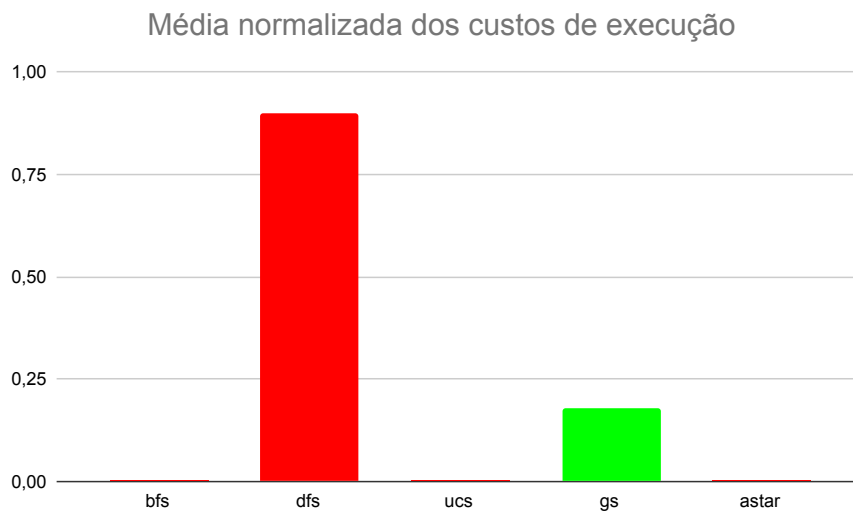


Figura 1. Média dos custos de execução de todos possíveis \$scenarios para cada \$alg.

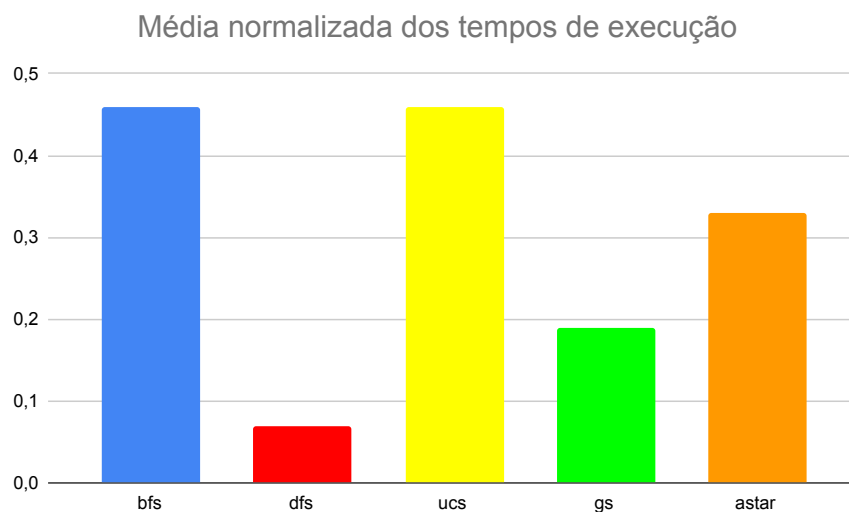


Figura 2. Média dos tempos de execução de todos possíveis \$scenarios para cada \$alg.

um destes dois algoritmos. Isso comprova o que fora dito durante as aulas, que dentre os cinco algoritmos, *astar* é aquele que melhor se aproxima da optimalidade com um bom desempenho.

Uma ultima observação sobre tais resultados é de que os algoritmos *ucs* e *bfs* obtiveram ótimos custo, porém há uma alta taxa de nós expandidos e também um alto tempo de execução, vide Figuras 2 e 3. Provavelmente, se os recursos computacionais não forem uma barreira, estas duas soluções poderiam ser utilizadas a fim de minimiza o custo, assim como mostra a Figura 1. Por fim, é importante destacar os recursos do sistema responsável pela execução dos testes. Trata-se de uma máquina com CPU Intel core i5, 8GB RAM, sistema operacional Ubuntu 18.04.

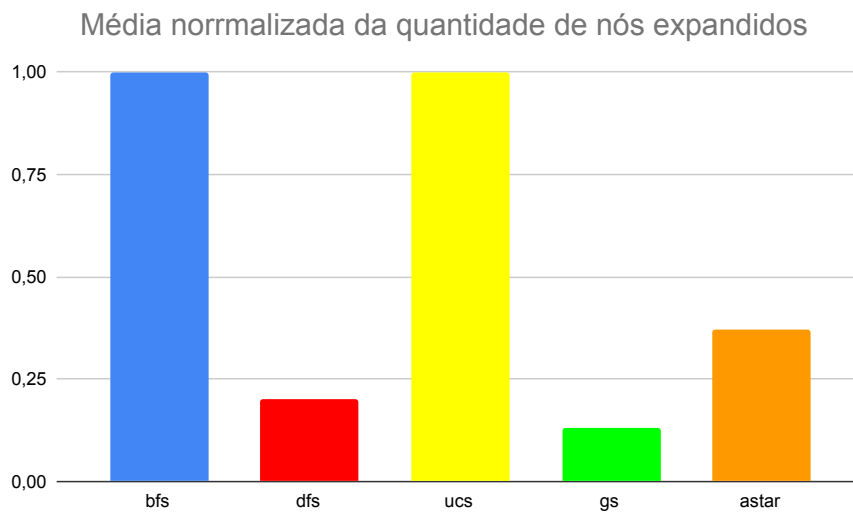


Figura 3. Média da quantidade de nós expandidos em todos os possíveis \$cenários para cada \$alg.

3.2. Comparação multi fatores

Os gráficos contidos nas Figuras 4, 5 e 6 foram obtidos a partir do cruzamento das médias que denotam as Figuras 1, 2 e 3. A partir desta exibição pode-se classificar os prós e contras de cada resultado obtido. Mas antes da descrição da análise, por tratar-se de um gráfico de pontos e dada a proximidade dos resultados dos algoritmos *bfs* e *ucs*, estes pontos se sobrepõem em todas as três figuras

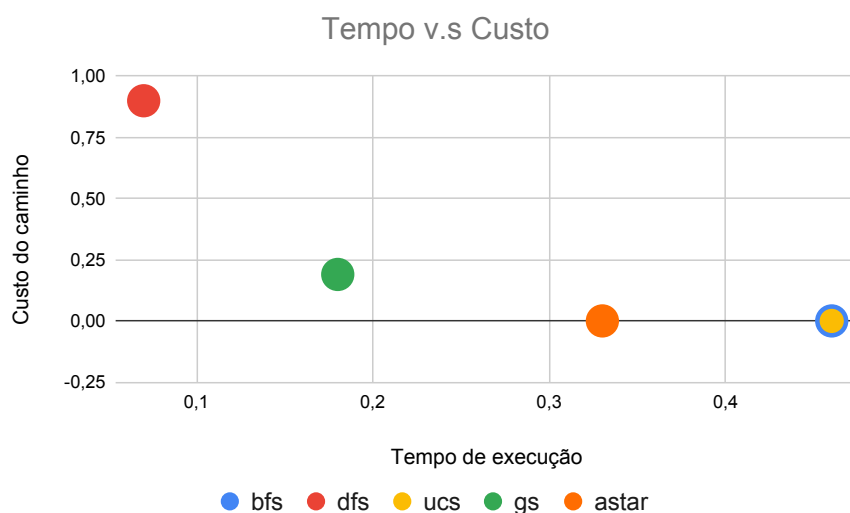


Figura 4. Comparação tempo e custo de execução

Através dos gráficos de cruzamento de fatores, fica evidente que *gs* é um bom meio termo, em que pode-se combinar um bom desempenho e custos reduzidos. Além disso, este algoritmo expande poucos nós se aproximando muito do resultado ótimo. Mas a observação que pode-se realizar de cada um dos gráficos de dados cruzados é que quão



Figura 5. Comparação da quantidade de nós expandidos e o custo

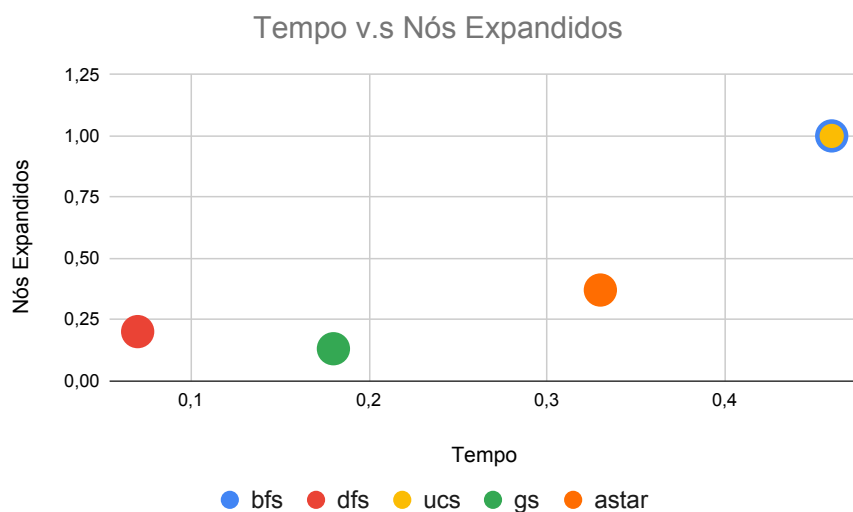


Figura 6. Comparação tempo e quantidade de nós expandidos

mais próximo do ponto $(0, 0)$, melhor é o desempenho da solução. A afirmação sobre a relação entre tempo e quantidade de nós expandidos é aferida pela Figura 6, em que os pontos são dispersos de maneira quase colinear.

3.3. FoodHeuristic

Uma vez que a heurística desenvolvida para o passo 7 deste trabalho deve considerar múltiplos pontos, pensou-se em uma versão relaxada do problema o qual apenas um ponto de comida é considerado, e desconsidera-se a existência de obstáculos (paredes). Ao avaliar a função heurística de determinado estado, busca-se pelo ponto de comida mais distante, e então retorna-se a distância de manhattan entre o estado consultado e o estado objetivo mais distante. Esta abordagem faz com que a expansão de nós tenda a uma região do mapa, e após consumir todos os estados objetivos daquela região, outra região

será apontada como tendência. Tal viés é o responsável por reduzir a quantidade de nós expandidos.

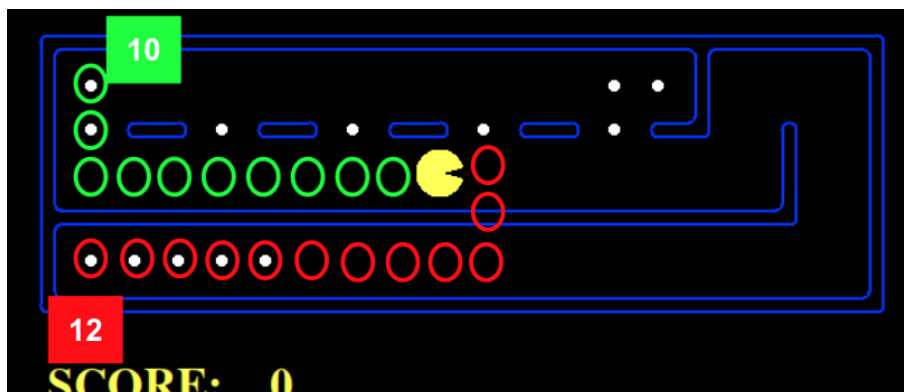


Figura 7. Distância de manhattan nas duas primeiras consultas em *trickySearch*

Figura 7 demonstra a consulta à função heurística no estado inicial da fase *trickySearch*. Nela é possível observar que só há dois possíveis estados para expandir: Aquele que aponta para a **direita** está a 12 pontos (segundo a distância de manhattan) do nó objetivo mais longe. Já a posição que está à esquerda do estado inicial, está à 10 pontos de distância do estado objetivo mais distante. Logo o estado escolhido será aquele que aponta para a esquerda.

Esta heurística é consistente e admissível, uma vez que passa pelo teste de admissibilidade do passo 7 e também por sempre caminhar para em direção daquele estado que otimiza o caminho sem superestimar a solução do problema original. A consistência é justificada pela construção do caminho, que prioriza uma direção para que o Pac-Man caminhe. Dessa forma, o caminhar está na direção da optimalidade, uma vez que a heurística implementa uma tendência de movimento para um nó objetivo.

Por fim, o resultado da execução de *trickySearch* através de *foodHeuristics* expande 9551 estados. Tal execução é dada pelo comando:

```
python3 pacman.py -layout trickySearch -pacman AStarFoodSearchAgent
```

4. Conclusão

Em resumo, a implementação do trabalho foi muito interessante, uma vez que conceitos já lecionados em teoria foram aplicados na prática. Isso foi importante para dar a percepção de quão trabalhoso é o processo da construção de soluções consistentes para sistemas de inteligência artificial, uma vez que é necessário avaliar diversos casos e soluções. Além disso, foi necessária a implementação de uma heurística, o que faz com que a criatividade seja despertada. Ainda é possível destacar que os resultados encontrados foram satisfatórios.

A principal dificuldade encontrada neste trabalho foi o desenvolvimento da heurística, para que o valor estivesse abaixo de 10000. Foi necessário testar duas abordagens antes da solução empregada: uma delas utilizando a distância euclidiana média entre determinado estado e todos os demais estados objetivos. A outra, era apenas uma pequena mudança que avaliava a distância de manhattan média entre um estado e todos os demais estados objetivos.

Acredito que não haja sugestões para trabalhos futuros, mas gostaria de deixar um elogio a este trabalho. Foi extremamente condizente com o que foi lecionado, além de possuir grau de dificuldade que considero adequado, visto a qualidade das aulas e do material disponibilizado.

Referências

Cormen, T. H., Leiserson, C. E., Rivest, R. L., and Stein, C. (2001). *Introduction to Algorithms*. Leiserson, 2nd edition.

Russell, S. and Norvig, P. (2000). *Artificial Intelligence – A Modern Approach*. Prentice Hall, 4th edition.